

تحلیل تنش قائم وارد بر مجاری مدفون در خاک مسلح

ندا افتخارکاوه (کارشناس ارشد)

سید ناصر مقدس تقوشی * (استاد)

دانشکده مهندسی عمران، دانشگاه صنعتی خواجه نصیرالدین طوسی

در این نوشتار، روشی تحلیلی جهت تعیین تنش وارد بر مجاری مدفون در خاک با درنظرگرفتن اثر توأم پدیده قوس‌زدگی و اثر تسلیح خاک با یک لایه تسلیح ارائه شده است. به منظور ارزشی عملکرد این روش، مطالعات پارامتری در خصوص بررسی تأثیر عوامل مختلف در میزان تنش وارد بر حفره و کارایی سیستم انجام شده است. تأثیر نشان می‌دهد که استفاده از مصالح نرم با مدل کشسانی پایین در محدوده بین ۳۵۰ ۷۰۰ کیلوپاسکال در بالای حفره و افزایش ضخامت این نوع مصالح روی حفره تا میزان حدود عرض تراشه، موجب عملکرد قوسی بهتر، کاهش تنش وارد بر حفره و افزایش کارایی سیستم می‌شود. همچنین مقایسه نتایج حاصل از خاکریز غیرمسلح و خاکریز مسلح نشان می‌دهد که استفاده از یک لایه تسلیح با سختی کششی در محدوده بین ۱۰۰ ۲۰۰ کیلونیوتون بر متر می‌تواند سبب کاهش تنش روی حفره و در نتیجه افزایش کارایی سیستم شود. روش تحلیلی موردنظر علاوه بر رفع محدودیت‌های موجود در روش‌های دیگر پژوهشکران، تطبیق قابل قبولی در مقایسه با آنها در شرایط یکسان دارد.

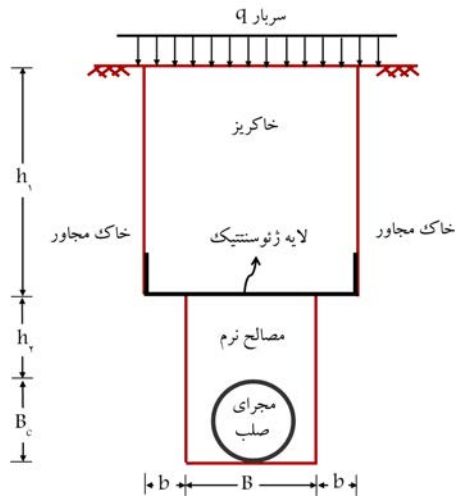
واژگان کلیدی: پدیده قوس‌زدگی، ژتوسنتیک، لایه تسلیح، تنش قائم، مجاری مدفعون.

n.afsharkaveh@gmail.com
nas_moghaddas@kntu.ac.ir

۱. مقدمه

عملکرد قوسی^۱ خاک یکی از پدیده‌های مهم در مهندسی ژتوسنتیک به شمار می‌رود، که امکان وقوع آن در سازه‌های خاکی به خصوص در سازه‌های مدفون نظری مجراهای زیرزمینی وجود دارد. در صورتی که سختی ستون خاک روی مجرای مدفون از سختی خاک مجاور آن کمتر باشد، به علت تمایل ستون خاک بالای مجرای اینها بیشتر در مقایسه با خاک مجاور و ایجاد تنش‌های برشی به سمت بالا در دیواره ستون خاک بالای حفره و در نتیجه بروز پدیده قوس‌زدگی، کاهش تنش قائم وارد بر تاج حفره رخ خواهد داد.^[۲-۱] به عبارت دیگر، به علت عملکرد قوسی خاک بالای یک حفره یا مجرای مدفون، بخشی از وزن ستون خاک به بخش‌های مجاور منتقل می‌شود و این امر کاهش بار وارد بر روی حفره را به همراه خواهد داشت.^[۳] اولین مطالعات آزمایشگاهی و تحلیلی در زمینه عملکرد قوسی خاک‌ها توسط ترازاقی با انجام آزمایش دریچه انجام شده است. وی براساس نتایج آزمایش‌ها و اندازه‌گیری‌های خود، یک تئوری برای عملکرد قوسی در خاک‌های ماسه‌بی تحت شرایط کرنش مسطح بیان کرده است. او اثر عملکرد قوسی را به عنوان انتقال فشار بین توده‌ی آزاد از خاک و قسمت‌های ثابت و ساکن مجاور آن تعریف کرده است.^[۴-۱] در ادامه، پژوهشکران مختلف با روش‌های عددی نظری، تفاضل محدود^۲، اجزاء محدود^۳ و اجزاء مجرای^۴ به مطالعه رفتار و عملکرد مجرای مدفون در

* نویسنده مسئول
تاریخ: دریافت ۱۳۹۲/۳/۳، اصلاحیه ۳۰، ۱۰، پذیرش ۱۳۹۲/۱۱/۲.



شکل ۱. تصویر شماتیک از حفره‌ی مدفون در خاک مسلح و پارامترهای موردنظر.

۱.۲. روش تحلیل در حالت خاکریز غیرمسلح
 خاکریز دانه‌یی به ارتفاع $B + 2b$ و عرض h_1 بر روی مصالح نرم با ضخامت h_2 و عرض B را مطابق شکل ۱۲ الف در نظر بگیرید. به منظور محاسبه‌ی تنش قائم σ_c در تراز $h_1 = z$ (بالای لايه زنستيک همانند شکل ۱ الف)، قوس نیمه استوانه‌یی به ضخامت b با شعاع داخلی $r_i = B/2$ و شعاع خارجی $r_o = b + B/2$ تحلیل شده است.^[۱۰] اگرچه در عمل قوس ایجاد شده قطعاً به صورت یک نیمه استوانه‌یی کامل (بک نیم‌دایره) نیست، اما در شکل گیری پدیده‌ی قوس‌زدگی تشکیل آن به صورت یک قوس نیمه استوانه‌یی بسیار محتمل‌تر از تشکیل آن به صورت یک المان مستطیلی است.^[۱۱]

از آنجا که در مطالعه‌یی در سال ۱۹۹۴^[۱۰] در مدل قوس نیمه استوانه‌یی، بحرانی ترین وضعیت تنش را در المان واقع در تاج قوس نیمه استوانه‌یی گزارش کرده‌اند، از این رو با درنظرگرفتن تعادل المان واقع در تاج قوس مطابق شکل ۲ ب و اعمال نیروهای وارد بر آن، معادله‌ی دیفرانسیل پایه مطابق رابطه‌ی ۱ به دست می‌آید:

$$\frac{d\sigma_r}{dr} + \frac{\sigma_r - \sigma_\theta}{r} = -\gamma \quad (1)$$

که در آن، σ_c تنش ساعی، σ_θ تنش مماسی، γ وزن مخصوص لايه زنستیک و r فاصله‌ی ساعی هستند. در این حالت ارتباط بین σ_r (تش ساعی)، σ_θ (تش مماسی)، توسط ضریب فشار مقاوم خاک (K_p) محتمل‌تر است. علت استفاده از ضریب فشار مقاوم خاک (K_p) به جای ضریب فشار حالت سکون یا محرك آن است که در شکل گیری قوس‌زدگی خاک (شکل ۲ ب) نیروهای وارد بر المان واقع در تاج قوس نیمه استوانه‌یی، امتداد افقی یا مماسی جهت تنش های اصلی بزرگ‌تر و امتداد قائم یا ساعی جهت تنش های اصلی کوچک‌تر هستند.^[۱۱] با قراردادن $\sigma_r = K_p \sigma_\theta = K_p \sigma_r$ در رابطه‌ی ۱ و حل معادله‌ی دیفرانسیل، تنش ساعی مطابق رابطه‌ی ۲ به دست می‌آید:

$$\sigma_r = Ar^{k_p-1} + \frac{\gamma r}{K_p - 2} \quad (2)$$

با اعمال شرایط مرزی بالای قوس ($q + q$) در رابطه‌ی ۲، مقدار پارامتر A محاسبه و مقدار تنش ساعی به صورت رابطه‌ی ۳

شرط خاکریز غیرمسلح و خاکریز مسلح به منظور بررسی میزان کاهش تنش وارد بر حفره‌ی مدفون در خاکریز مسلح در مقایسه با خاکریز غیرمسلح ارائه شده است. برخلاف روش شاکلا و سیواکوگان،^[۱۲] در این مطالعه:

۱. برای شکل گیری، بهتر پدیده‌ی قوس‌زدگی در قسمت خاکریز به جای المان مستطیلی از المان قوسی نیمه استوانه‌یی به دلیل عملکرد بهتر و نزیک‌تر به پدیده‌ی قوسی استفاده شده است.^[۱۱]

۲. اصطکاک خاک با لايه زنستیک تسلیح لحظه شده است.

۳. به جای فرض یک مقدار ثابت برای مقدار خیز لايه زنستیک (t) بر حسب عرض تراشه، مقدار آن با ارائه‌ی روابط تحلیلی در شرایط مختلف از هندسه‌ی مسئله و خصوصیات مصالح محاسبه شده است. همچنین مطالعه‌ی پارامتری به منظور بررسی اثر عوامل مختلف نظری: سختی کششی لايه زنستیک ($k(t)$)، سختی مصالح نرم در بالای حفره (F_{h_1})، ارتفاع خاکریز (h_1) و ارتفاع مصالح نرم (h_2) بر تنش قائم وارد بر تاج حفره‌ی مدفون در خاک، کارایی سیستم، میزان کشش و کرنش محوری لايه زنستیک انجام شده است.

۲. روش تحلیل

شکل ۱، طرح کلی از تراشه، حفره‌ی مدفون در خاک، لايه زنستیک تسلیح و پارامترهای موردنظر را نشان می‌دهد. مطابق این شکل، حفره‌ی با قطر B_c در تراشه در عرض B و ارتفاع h_2 تحت سربار و وزن خاکریز دانه‌یی با ارتفاع h_1 قرار دارد. مقدار عرض تراشه (B) از جمله محدودیت‌های طرح است که مقدار آن برای مجاری دائمی برابر با اساس استاندارد ASTM D2321-11^[۱۳] برابر با بیشینه‌ی مقادیر (mm) ($B_c + 400$) و (mm) ($B_c + 110$)^[۱۴] و بر اساس استاندارد ۱/۲۵ $B_c + 300$ ^[۱۵] و (mm) AASHTO HB-۷۷^[۱۶] برابر با (mm) ($B_c + 300$) بر حسب B_c (mm) توصیه می‌شود. در این نوشتار، عرض B_c بر اساس استاندارد ASTM D2321-11^[۱۷] انتخاب شده است. همچنین لازم است مقدار مناسبی برای عرض b و مقدار بالا آمدگی لايه زنستیک تسلیح روی دیوارهای قائم خاکریز، به منظور گیرداری لايه زنستیک تسلیح در نظر گرفته شود. در این روش تحلیلی، این فرضیات موردنظر هستند:

درنهایت، با توجه به مقدار σ_s ، مقدار تنفس σ_s در تراز $z = h_1$ و همچنین نیروی قائم V وارد بر لایه‌ی نرم به ترتیب مطابق رابطه‌های ۵ و ۶ به دست می‌آیند:

$$\begin{aligned} \sigma_s &= \gamma_1 \left(\frac{B}{2b+B} \right)^{K_p-1} \left[(h_1 - b - \frac{B}{2}) - \frac{2b+B}{2(K_p-2)} \right] \\ &\quad + q \left(\frac{B}{2b+B} \right)^{K_p-1} + \frac{\gamma_1 B (K_p-1)}{2(K_p-2)} \end{aligned} \quad (5)$$

$$V = \sigma_s B \quad (6)$$

حال با درنظرگرفتن تعادل نیروهای وارد بر المانی مستطیل شکل به ضخامت dz و عرض B مطابق شکل ۲ج، در ناحیه‌ی مصالح نرم به ضخامت h_2 ، تشش روی حفره محاسبه خواهد شد. مطابق شکل ۲ج، F_n و F_s به ترتیب عکس العمل نیروی قائم V و مماسی وارده از خاک مجاور است. $F_n = K(V/B)dz$ و $F_s = F_n \tan \phi_2$. وزن المان dw و مصالح نرم V_{total} در بالای المان و مجرای صلب می‌باشد. معادله‌ی تعادل نیروهای وارد بر المان در جهت قائم مطابق رابطه‌ی ۷ بیان خواهد شد:

$$V + dw - (V + dV) - 2F_s = 0 \quad (7)$$

با قراردادن نیروی مماسی $F_s = F_n \tan \phi_2$ و همچنین مقدار dw برابر با $\gamma_2 Bd dz$ در معادله‌ی ۷ و حل آن، رابطه‌ی ۸ حاصل می‌شود:

$$dz = \frac{dV}{\gamma_2 B - 2K\mu(\frac{V}{B})} \quad (8)$$

که در آن، μ ضریب اصطکاک ($\mu = \lambda \tan \phi_2$)، λ ضریبی بین $0/7$ و $0/9$ است. K نسبت فشار جانبی به فشار قائم در دیواره‌های دیواره‌های زاویه‌ی اصطکاک داخلی مصالح نرم هستند. با انتگرال‌گیری از رابطه‌ی ۸، در فاصله‌ی z از h_1 تا h_2 و از V تا V_{total} مقدار نیرو روی حفره مطابق رابطه‌ی ۹ خواهد شد:

$$V_{total} = \frac{B}{2\mu K} [\gamma_2 B - e^{\frac{\gamma_2 K_p}{B}(-h_2)} \cdot (\gamma_2 B - 2\mu K \sigma_s)] \quad (9)$$

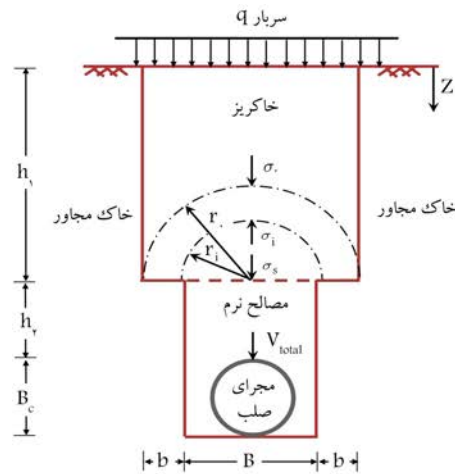
نیروی نهایی وارد بر تاج حفره‌ی مدفون در شرایط خاک غیرمسلح است. مقدار کارایی E_f (فر) به علت عملکرد قوسی خاک بالای حفره مطابق رابطه‌ی ۱۰ تعریف می‌شود:

$$E_f = 1 - \frac{(V_{total}/B)}{\gamma_1 h_1 + \gamma_2 h_2 + q} \quad (10)$$

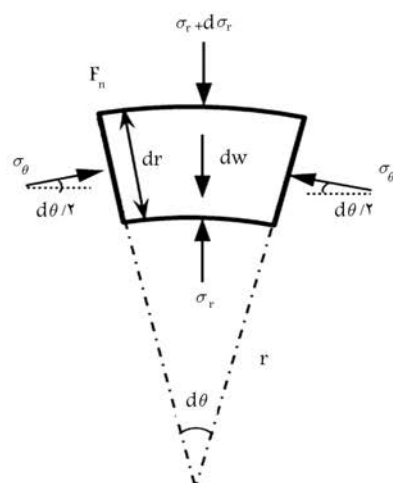
افزایش مقدار کارایی (E_f) نشان‌دهنده‌ی کاهش بیشتر تنفس روی حفره در اثر پدیده‌ی قوس‌زنگی است.

۲.۲. روش تحلیل در حالت خاکریز مسلح با لایه‌ی ژئوستیک

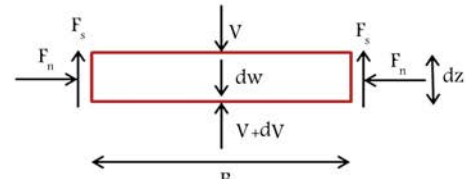
در حالت خاکریز مسلح مطابق شکل ۳، لایه‌ی ژئوستیک زیر لایه‌ی خاکریز به ضخامت h_1 قرار می‌گیرد. به منظور تأمین طول موردنیاز لایه‌ی تسلیح، آن را باید روی لبه‌های به عرض b پهن و اقدام به کوبیدن خاک بالای حفره آن کرد. در صورت نیاز به طول بیشتر از لایه‌ی تسلیح می‌توان آن را روی دیواره‌های قائم خاکریز نیز ادامه داد. تغییرشکل لایه‌ی تسلیح مطابق شکل ۴، به صورت کمانی از دایره با شعاع R زاویه‌ی مرکزی 2θ و بیشینه‌ی خیز t در میانه‌ی لایه‌ی ژئوستیک فرض می‌شود. در حالت خاکریز مسلح، مراحل محاسبه‌ی تنفس تا عمق $z = h_1$ واقع بر بالای لایه‌ی تسلیح (σ_s) مشابه و برابر با حالت خاکریز غیرمسلح است (بخش ۱.۲).



الف) قوس نیمه استوانی به ضخامت b در خاکریز به ارتفاع h ؛



ب) نیروهای وارد بر المانی از تاج قوس نیمه استوانه‌ی؛



ج) نیروهای وارد بر المان افقی از مصالح نرم در بالای حفره.

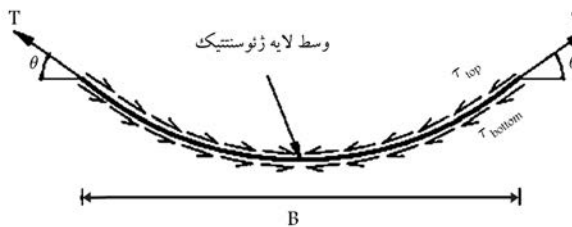
شکل ۲. حفره‌ی مدفون در خاکریز غیرمسلح.

خواهد شد:

$$\begin{aligned} \sigma_r &= \gamma_1 \left(\frac{B}{2b+B} \right)^{K_p-1} \left[(h_1 - b - \frac{B}{2}) - \frac{2b+B}{2(K_p-2)} \right] \\ &\quad + q \left(\frac{B}{2b+B} \right)^{K_p-1} + \frac{\gamma_1 r}{K_p-2} \end{aligned} \quad (3)$$

با جایگذاری $r = r_i = B/2$ در معادله‌ی ۳، تشش زیر قوس (σ_s) نیز به دست خواهد آمد (رابطه‌ی ۴):

$$\begin{aligned} \sigma_s &= \gamma_1 \left(\frac{B}{2b+B} \right)^{K_p-1} \left[(h_1 - b - \frac{B}{2}) - \frac{2b+B}{2(K_p-2)} \right] \\ &\quad + q \left(\frac{B}{2b+B} \right)^{K_p-1} + \frac{\gamma_1 B}{2(K_p-2)} \end{aligned} \quad (4)$$



شکل ۵. تنش برشی بین خاک و ژئوسنتیک.^[۲۰]

با قراردادن $V = B\sigma_s$ و $V' = tE_r/h_r$ (شکل ۳)، مقدار T خواهد شد:

$$2T \sin \theta = B(\sigma_s - \frac{tE_r}{h_r}) \quad (14)$$

$$T = (\frac{1+4\beta^2}{8\beta}) \left[B(\sigma_s - \frac{tE_r}{h_r}) \right] \quad (15)$$

در رابطه ۱۵، σ_s تنش قائم وارد بر بالای ژئوسنتیک، E_r مدول کشسان مصالح نرم، h_r ضخامت مصالح نرم روی حفره و T نیروی کششی در لایه ی ژئوسنتیک هستند. باید توجه کرد که مقدار T در رابطه ۱۵، علاوه بر مقدار تعییرشکل t به نزخ فرورفتگی $\beta = t/B$ دارد. رابطه‌ی فقط در حالت بروز تعییرشکل در لایه‌ی تسليح ($\beta \neq 0$) به کار می‌رود. بدیهی است در صورت عدم بروز تعییرشکل در لایه‌ی تسليح ($t = 0$ ، هیچ‌گونه کششی در آن نیز نمی‌دهد $(T = 0)$ و نیازی به استفاده از رابطه ۱۵ نیست.

مطابق شکل ۵، تنش برشی به علت اصطکاک سطح تماس خاک- ژئوسنتیک از رابطه ۱۶ به دست می‌آید:^[۲۱]

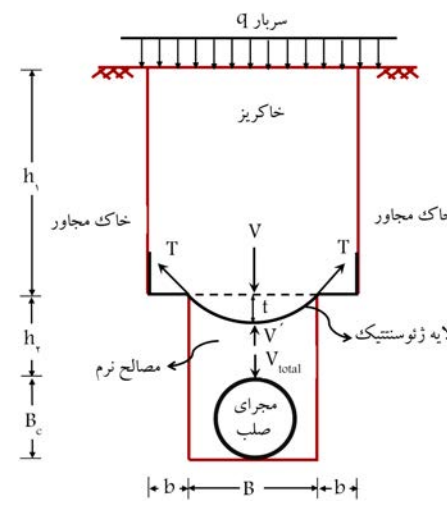
$$\tau = \tau_{top} + \tau_{bottom} = \sigma_n \tan \delta = \lambda (\sigma_s \tan \phi_1 + \frac{tE_r}{h_r} \tan \phi_2) \quad (16)$$

که در آن، σ_n تنش نرمال در سطح تماس، ϕ_1 زاویه‌ی اصطکاک داخلی خاکریز، ϕ_2 زاویه‌ی اصطکاک داخلی مصالح نرم و δ زاویه‌ی اصطکاک سطح تماس ($\tan \delta = \lambda \tan \phi$) هستند. باید توجه کرد که اگر چه به علت وجود نیروی کششی المان تسليح، تنش نرمال در بالا و پایین المان تسليح دقیقاً یکی نیست، اما با توجه به ضخامت ناچیز لایه‌ی تسليح و کوچک‌بودن مقدار زاویه‌ی θ ، ضمن صرف نظر کردن از تأثیر مؤلفه‌ی قائم نیروی کششی لایه‌ی تسليح، میزان تنش نرمال در بالا و پایین المان تسليح برابر فرض شده است. با درنظر گرفتن یک المان از لایه‌ی ژئوسنتیک به طول dx ، ضخامت w طول T ($B = T$) و مدول کشسانی E_g تحت نیروی کشش T و درنظر گرفتن تنش برشی τ بین لایه‌ی ژئوسنتیک و خاک (مطابق شکل ۵) و نوشتن تعادل نیروهای افقی مقدار تعییر طول Δl از رابطه ۱۷ به دست می‌آید:

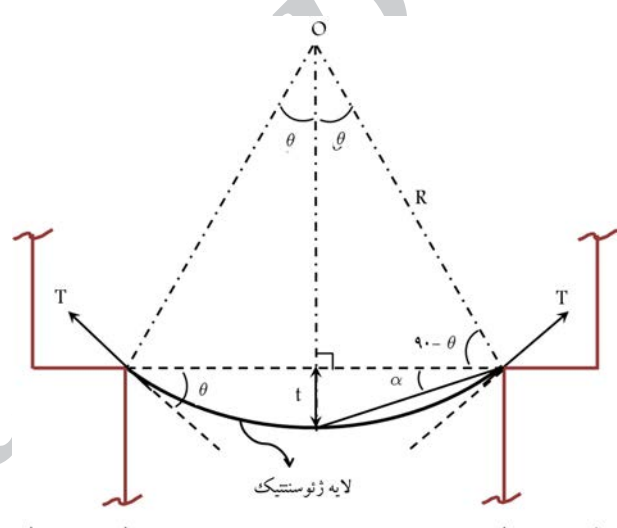
$$\Delta l = \int_{0}^{B/2} \frac{T - \tau x}{E_g w} dx = \frac{4TB - \tau B^2}{4E_g w} \quad (17)$$

به منظور نوشتن رابطه ۱۷، محور x در امتداد ژوتکستایل تعییرشکل یافته فرض شده است. اما با توجه به کوچک‌بودن مقدار زاویه‌ی θ ، در انتگرال گیری از این رابطه از طول تعییرشکل نیافته‌ی ژوتکستایل استفاده شده است. با قراردادن تنش برشی τ از رابطه ۱۶ در رابطه ۱۷ و همچنین جایگذاری مقدار $E_g = k_g/w$ در آن و حل کردن انتگرال رابطه ۱۷، مقدار تعییر طول Δl مطابق رابطه ۱۸ به دست می‌آید:

$$\Delta l = \frac{4TB - B^2 \lambda (\sigma_s \tan \phi_1 + \frac{tE_r}{h_r} \tan \phi_2)}{4k_g} \quad (18)$$



شکل ۳. حفره‌ی مدفون در خاکریز مسلح، نیروهای وارد بر لایه‌ی ژئوسنتیک و منتقال آن‌ها تا روی حفره‌ی مدفون.



شکل ۴. تعییرشکل لایه‌ی ژئوسنتیک با فرض تعییرشکل دایره‌بی با شعاع زاویه‌ی مرکزی ۲θ و خیز بیشینه‌ی t .^[۲۰]

رابطه ۵. در اثر اعمال تنش σ_s بر لایه‌ی تسليح، جایه‌جایی t در وسط دهانه و نیروی کششی T در ژئوسنتیک ایجاد می‌شود. با توجه به هندسه‌ی مسئله در شکل ۴، مقدار $\sin \theta$ از طریق رابطه ۱۱ به دست می‌آید:

$$\sin \theta = \frac{4(t/B)}{1+4(t/B)^2} = \frac{4\beta}{1+4\beta^2} \quad (11)$$

که در آن، $t/B = \beta$ نزخ فرورفتگی و $\theta = 2\beta = 2\tan^{-1}(2\beta) = 4\beta$ هستند. مقدار کرنش محوری در لایه‌ی تسليح (ε_g) با توجه به تعییر طول آن (Δl) تحت اثر تنش σ_s از رابطه ۱۲ به دست می‌آید:

$$\varepsilon_g = \frac{\Delta l}{B} = \frac{\theta - \sin \theta}{\sin \theta} = 4\beta^2 \quad (12)$$

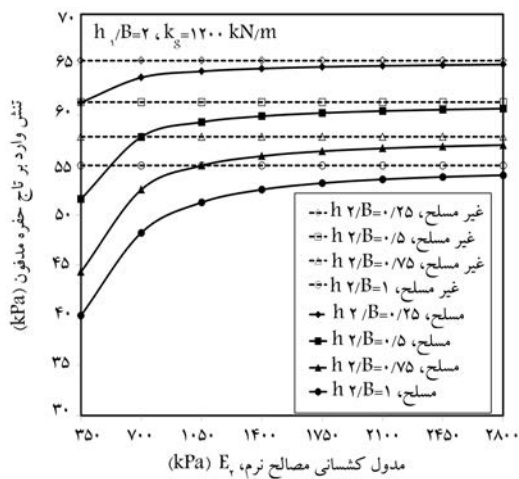
با نوشتن تعادل قائم نیروهای وارد بر لایه‌ی ژئوسنتیک (شکل ۳) مطابق رابطه‌های ۱۳ و ۱۴، نیروی کششی (T) در لایه‌ی ژئوسنتیک از رابطه ۱۵ به دست می‌آید:

$$2T \sin \theta = V - V' \quad (13)$$

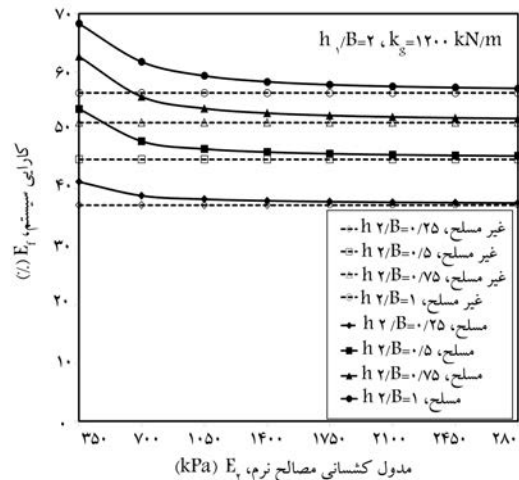
با برابر 30° متر و پارامتر λ برابر با 80° فرض شده است. همچنین تغییرات سختی کششی لایه‌ی زتوستیک از 100 تا 3600 کیلوپاسکال و سربار یکنواخت 12 کیلوپاسکال به منظور شبیه‌سازی بار ترافیک در نظر گرفته شده‌اند.^[۲۰] نتایج حاصل از این مطالعه در شکل‌های 6 تا 17 ارائه شده است.

جدول ۱. هندسه و خصوصیات زتوتکنیکی حفره‌ی مدفعون در خاک در مطالعه‌ی پارامتری.

پارامتر مورد نظر	صالح نرم	خاکریز
وزن مخصوص (کیلونیوتون بر مترمکعب)	$12/5$	18
زاویه‌ی اصطکاک داخلی (درجه)	15	30
مدول کشسانی (کیلونیوتون بر متراًمربع)	$25000 \sim 2800$	25000
چسبندگی (کیلونیوتون بر متراًمربع)	$0 \sim 0$	0
	h_1/B	$1/5 \sim 4$
	h_2/B	$-$
	$0.25 \sim 1$	$-$



شکل ۶. اثر مدول کشسانی صالح نرم بر تنش وارد بر تاج حفره برای حالت خاکریزهای مسلح و غیرمسلح در مقادیر مختلف از h_2/B .



شکل ۷. اثر مدول کشسانی صالح نرم در کارابی سیستم برای حالت خاکریزهای غیرمسلح و مسلح در مقادیر مختلف از h_2/B .

حال با مساوی قراردادن مقدار Δl در رابطه‌ی 12 ، یعنی $\varepsilon_g B = 4\beta^3 \beta$ و $\Delta l = \varepsilon_g B = 4\beta^3 \beta$ در رابطه‌ی 18 ، مقدار نیروی کشش T در لایه‌ی زتوستیک مطابق رابطه‌ی 19 به دست می‌آید:

$$T = 4\beta^3 k_g + \frac{1}{4} B \lambda (\sigma_s \tan \phi_1 + \frac{t E_2}{h_2} \tan \phi_2) \quad (19)$$

که در آن، $k_g = F_g w$ سختی کششی زتوستیک بر حسب کیلونیوتون بر متر است. حال با ترکیب رابطه‌های 15 و 19 ، معادله‌ی درجه سه بر حسب پارامتر β به شکل رابطه‌ی 20 به دست می‌آید. با حل این معادله، مقدار β ، خیز زتوستیک $t = \beta B$ (در نهایت کنش محوری آن ε_g به دست خواهد آمد).

$$(32 h_2 k_g + 4B^3 E_2) \beta^3 + (2B^3 \lambda E_2 \tan \phi_2 - 4B h_2 \sigma_s) \beta^2 + (2B \lambda h_2 \sigma_s \tan \phi_1 + B^3 E_2) \beta - B h_2 \sigma_s \quad (20)$$

پس از محاسبه مقداری خیز و کرش زتوستیک، می‌توان نیروهای واردۀ را بر روی حفره انتقال داد. با توجه به شکل 3 و با درنظر گرفتن کرش مصالح نرم برای t/h_2 نیروی عکس العمل V' در زیر لایه‌ی زتوستیک مطابق رابطه‌ی 21 به دست می‌آید:

$$V' = t E_2 B / h_2 \quad (21)$$

نیروی نهایی V_{total} وارد بر تاج حفره همانند بخش 1.2 . با انتگرال‌گیری از رابطه‌ی 8 در فاصله‌ی \approx از $h_1 + t$ تا $h_1 + h_2$ و V از V' تا V_{total} (شکل 3) مطابق رابطه‌ی 22 محاسبه می‌شود:

$$V_{total} = \frac{B}{2\mu K} [\gamma_2 B - e^{\frac{\gamma_2 K_p}{B}(t-h_2)} (\gamma_2 B - 2\mu K \frac{V'}{B})] \quad (22)$$

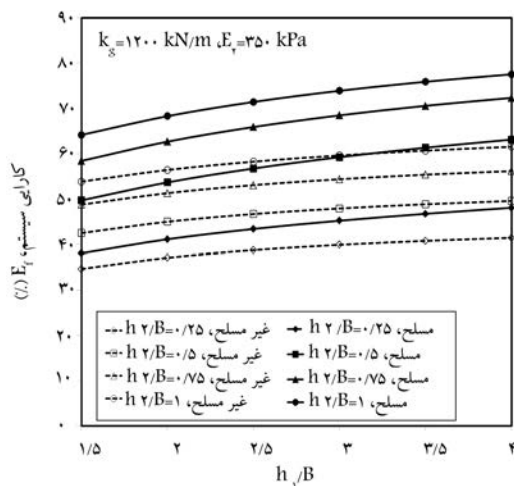
در این حالت نیز مقدار کارابی سیستم (E_f) از رابطه‌ی 23 به دست می‌آید:

$$E_f = 1 - \frac{(V_{total}/B)}{\gamma_1 h_1 + \gamma_2 h_2 + q} \quad (23)$$

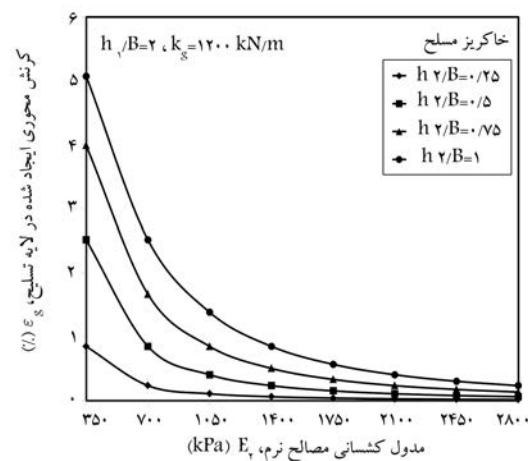
در این حالت ضریب کارابی E_f ، میزان کاهش تنش روی حفره را به عنوان اثر تؤام پدیده‌ی قوس‌زدگی و همچنین عملکرد لایه‌ی تسلیح شان می‌دهد. افزایش مقدار کارابی، نشان‌دهنده‌ی کاهش هر چه بیشتر تنش روی حفره است. به منظور دستیابی به جزئیات بیشتر در خصوص نحوه‌ی به دست آمدن روابط تحلیلی می‌توان به مرجع ^[۱۱] مراجعه کرد.

۳. نتایج

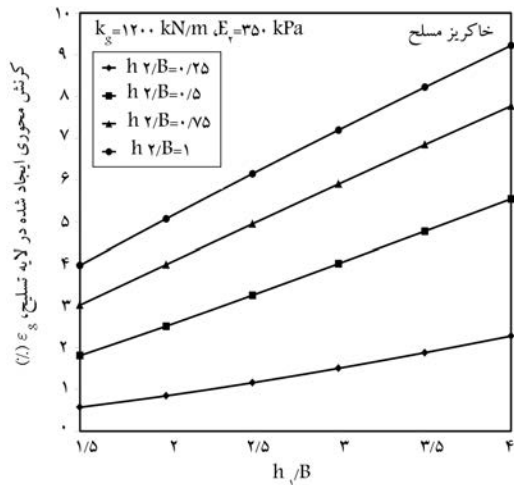
به منظور بررسی اثر پدیده‌ی قوس‌زدگی و تسلیح خاک با استفاده از روش تحلیلی مورد نظر مطالعات پارامتری نسبتاً وسیعی انجام شده است. در این مطالعات اثر پارامترهای نظری: مدول کشسانی صالح نرم (E_2)، سختی کششی لایه‌ی زتوستیک (K_g)، ارتفاع خاکریز (h_1) و ارتفاع صالح نرم (h_2) بر تنش نهایی وارد بر تاج حفره (σ_{total} ، کشش ایجاد شده در زتوستیک (I)), میزان کرش محوری زتوستیک (ε_g) و در نهایت کارابی سیستم (E_f) در کاهش تنش روی حفره در دو حالت مسلح و غیرمسلح بررسی شده است. محدوده‌ی پارامترهای هندسی و زتوتکنیکی برای صالح خاکریز و صالح نرم روی حفره مطابق جدول 1 هستند. با توجه به مقدار قطر حفره (B_c) برابر $1/65$ متر، مطابق استاندارد ASTM D2321-11^[۱۷] مقدار عرض ترانشه برابر با $2/36$ متر در نظر گرفته شده است. عرض گیرداری



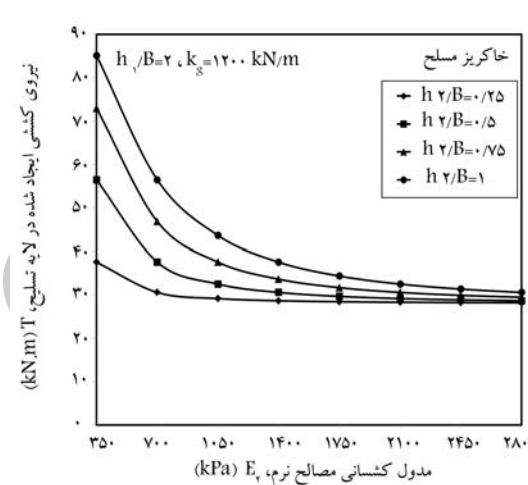
شکل ۱۱. اثر ارتفاع خاکریز در کارایی سیستم برای حالت خاکریزهای غیرمسلح و مسلح در مقادیر مختلف از h_2/B .



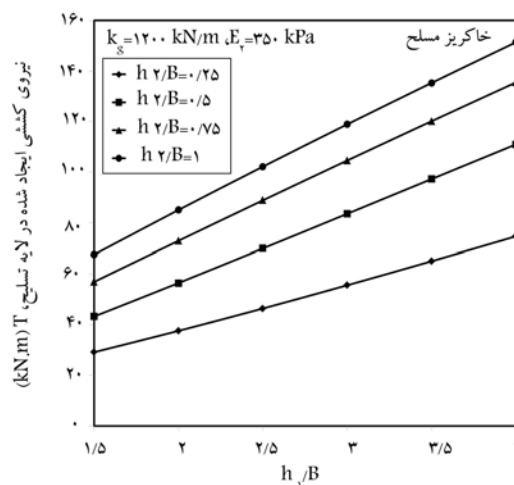
شکل ۸. اثر مدل کشسانی مصالح نرم در کرنش محوری لایه‌ی تسلیخ در مقادیر مختلف از h_2/B .



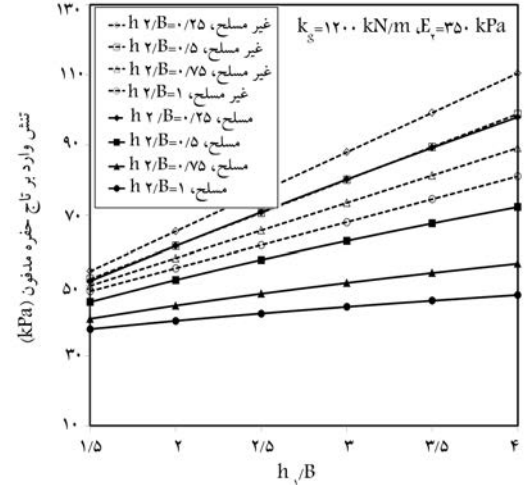
شکل ۱۲. اثر ارتفاع خاکریز در کرنش محوری ایجاد شده در لایه‌ی ژئوپستیک در مقادیر مختلف از h_2/B .



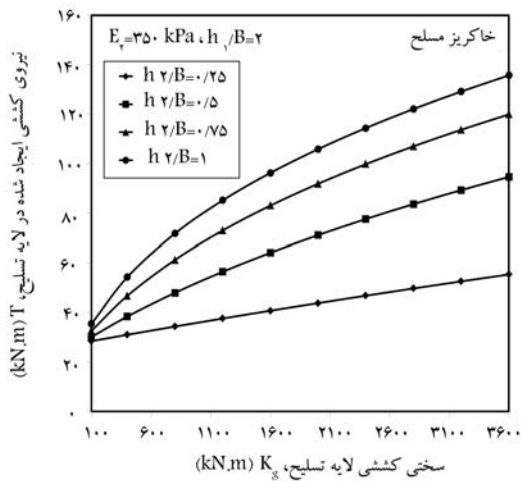
شکل ۹. اثر مدل کشسانی مصالح نرم در کشش ایجاد شده در لایه‌ی تسلیخ در مقادیر مختلف از h_2/B .



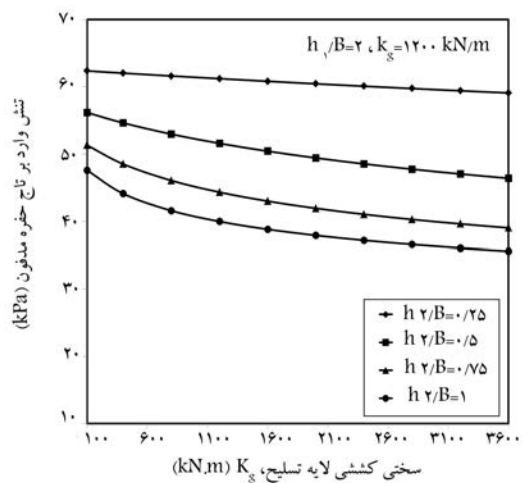
شکل ۱۳. اثر ارتفاع خاکریز در نیروی کششی حاصل در لایه‌ی ژئوپستیک برای مقادیر مختلف از h_2/B .



شکل ۱۰. اثر ارتفاع خاکریز در تنش روی حفره برای حالت خاکریزهای غیرمسلح و مسلح در مقادیر مختلف از h_2/B .



شکل ۱۷. اثر سختی کششی زئوستنتیک در کشش ایجاد شده در زئوستنتیک برای مقادیر مختلف از h_2/B .

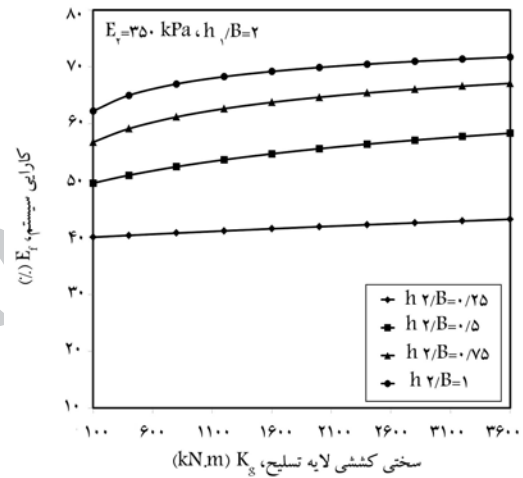


شکل ۱۴. اثر سختی کششی زئوستنتیک در تنش وارد بر تاج حفره در مقادیر مختلف از h_2/B .

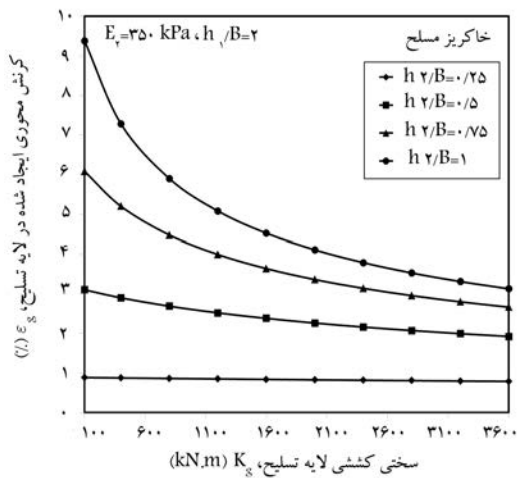
۱.۳. اثر مدول کشسانی مصالح نرم (E_f)

شکل ۶، تغییرات تنش روی حفره در مقابل مدول کشسانی مصالح نرم روی حفره را برای مقادیر مختلف h_2/B در حالت خاکریز غیرمسلح و مسلح نشان می‌دهد. همان‌طور که ملاحظه می‌شود، تغییرات مدول کشسانی مصالح نرم تأثیری در تنش وارد بر روی حفره در حالت غیرمسلح نخواهد داشت، که این امر با توجه به روابط ارائه شده در بخش ۱.۲، قابل توجیه است.

مطابق شکل ۶، در حالت خاکریز مسلح با افزایش مدول کشسانی مصالح نرم، تغییرات تنش وارد بر حفره در مقادیر پایین مدول کشسانی مصالح نرم قابل توجه است، اما با افزایش مدول کشسانی نجف افزایش در میزان تنش وارد ناچیز می‌شود؛ به طوری که با رسیدن مدول کشسانی مصالح نرم به حدود ۷۰۰ کیلوپاسکال، مقادیر تنش روی حفره و میزان ضربیت کارابی (شکل ۷) ثابت می‌ماند. از این رو می‌توان گفت که برای کاهش هر چه بیشتر تنش وارد بر حفره، استفاده از مصالح نرم با مدول کشسانی پایین مناسب است. کنگ و همکاران^[۱۲] با مدل سازی به روش اجراء محدود مقادیر مدول کشسانی حدود ۳۵۰ کیلوپاسکال را برای مصالح نرم جهت افزایش کارابی سیستم و عملکرد قوسی بهتر توصیه کرده‌اند. این میزان از مدول کشسانی برای مصالح نرم نظر تقویم است. به طور کلی مقایسه‌ی دو حالت مسلح و غیرمسلح در شکل ۶ نشان می‌دهد که در یک مقدار مشخص از h_2/B ، تسلیح خاک موجب کاهش تنش روی حفره در مقایسه با حالت خاکریز غیرمسلح می‌شود. به منظور روشن شدن هرچه بہتر این موضوع، تغییرات ضربیت کارابی E_f در مقابل مدول کشسانی مصالح نرم برای مقادیر مختلف h_2/B برای خاکریز غیرمسلح و مسلح در شکل ۷ آراهه شده است. همان‌طور که مشاهده می‌شود، در یک مقدار یکسان از h_2/B ، میزان کارابی در حالت مسلح بیشتر از میزان آن در حالت غیرمسلح است. در حقیقت استفاده از لایه تسلیح علاوه بر عملکرد قوس‌زدگی خاک در حالت غیرمسلح، موجب بالا رفتن کارابی سیستم به میزان حدود ۱۰٪ درصد (در $E_f = ۳۵۰ \text{ kPa}$) در کاهش تنش روی حفره در مقایسه با حالت غیرمسلح می‌شود. مطابق این شکل بیشینه‌ی کارابی در حالت غیرمسلح و مسلح به ترتیب حدود ۵۶٪ و ۶۸٪ است. همچنین با افزایش مقدار مدول کشسانی E_f برای یک مقدار از B/h_2 اثر تسلیح کاهش می‌یابد و به سمت حالت غیرمسلح میل می‌کند،



شکل ۱۵. اثر سختی کششی زئوستنتیک در کارابی سیستم در مقادیر مختلف از h_2/B .



شکل ۱۶. اثر سختی کششی زئوستنتیک در کرتش محوری ایجاد شده در زئوستنتیک برای مقادیر مختلف از h_2/B .

مقادیر مختلف h_1/B و h_2/B شده است. همچنین ملاحظه می‌شود که حالت مسلح تأثیر بیشتری در کاهش میزان تنش وارد بر حفره باشد. افزایش ضریب کارابی E_f دارد. کارابی بیشتر در حالت مسلح در مقایسه با حالت غیرمسلح به عمل آن است که در حالت غیرمسلح، کاهش تنش فقط متاثر از عملکرد قوسی خاک روی حفره است؛ در حالی که در حالت مسلح، اثر همزمان عملکرد قوسی خاک و عملکرد تسليح در میزان کاهش تنش روی حفره تأثیر دارد.

شکل ۱۲، اثر B/h_1 را روی کرنش محوری ژئوستیک نشان می‌دهد. ملاحظه می‌شود که با افزایش ارتفاع خاکریز، صرف نظر از مقادیر B/h_2 به سبب افزایش تنش وارد بر لایه‌ی تسليح، کرنش‌های بیشتری در آن ایجاد خواهد شد. همچنین با افزایش ضخامت مصالح نرم، ضمن افزایش نشست آن تحت بارهای وارده، موجب افزایش طول لایه‌ی تسليح و در نهایت افزایش کرنش محوری در آن می‌شود.

شکل ۱۳، تغییرات کشش ایجادشده در لایه‌ی تسليح در مقابل B/h_1 را برای مقادیر مختلف B/h_2 نشان می‌دهد. همان‌طور که مشاهده می‌شود، با افزایش ارتفاع خاکریز (B/h_1)، بار وارد بر لایه‌ی ژئوستیک افزایش می‌یابد و در نهایت کشش بیشتری در لایه‌ی تسليح ایجاد می‌شود. همچنین با افزایش ارتفاع مصالح نرم، نیروی کششی در لایه‌ی تسليح افزایش می‌یابد.

۳.۳. اثر سختی کششی ژئوستیک (K_g)

شکل ۱۴، اثر سختی کششی ژئوستیک در تنش وارد بر تاج حفره را برای مقادیر مختلف B/h_2 نشان می‌دهد. ملاحظه می‌شود که با افزایش سختی کششی ژئوستیک صرف نظر از میزان B/h_2 ، میزان تنش وارد بر حفره کاهش می‌یابد. این امر را می‌توان به افزایش نیروی کششی ایجادشده در لایه‌ی تسليح به عمل افزایش در سختی آن نسبت داد.

شکل ۱۵، اثر سختی کششی ژئوستیک را در کارابی سیستم (E_f) نشان می‌دهد. مطابق شکل مذکور با افزایش مقادیر سختی کششی لایه‌ی تسليح و در نتیجه کاهش تنش روی حفره مطابق شکل ۱۴، مقادیر کارابی سیستم افزایش می‌یابد. شکل ۱۶، اثر سختی کششی لایه‌ی ژئوستیک در کرنش محوری آن را برای مقادیر مختلف از ضخامت مصالح نرم نشان می‌دهد. مطابق شکل مذکور برای یک مقادیر B/h_2 مشخص، با افزایش سختی کششی لایه‌ی تسليح، کرنش محوری در لایه‌ی تسليح کاهش می‌یابد.

شکل ۱۷، تغییرات کشش ایجادشده در لایه‌ی تسليح را در مقابل سختی کششی آن نشان می‌دهد. ملاحظه می‌شود که با افزایش سختی کششی لایه‌ی تسليح علی‌رغم کاهش کرنش در لایه‌ی تسليح (شکل ۱۶)، میزان کشش در آن (به عمل افزایش سختی کششی) افزایش می‌یابد. همچنین با افزایش ضخامت مصالح نرم و بروز نشستهای بیشتر در لایه‌ی نرم، کرنش محوری در لایه‌ی ژئوستیک مطابق شکل ۱۶، افزایش و در نتیجه کشش محوری در لایه‌ی تسليح مطابق شکل ۱۷ افزایش می‌یابد.

۴. مقایسه‌ی نتایج تحلیل حاضر با نتایج سایر پژوهشگران

جدول ۲، نیروی وارد بر حفره‌ی مدفون در شرایط خاکریز غیرمسلح حاصل از تحلیل حاضر را با روش تحلیلی اسپنگلر^[۲۲] مقایسه می‌کند. ملاحظه می‌شود که نتایج حاصل از دو روش، تطبیق بسیار مناسبی دارند.

که این امر به علت عدم تغییر شکل لایه‌ی تسليح در مقادیر بالا از مقدار E_f است. شکل ۶ و ۷ نشان می‌دهند که افزایش ضخامت مصالح نرم (B/h_2) در هر دو حالت خاکریز مسلح و غیرمسلح سبب کاهش تنش وارد بر حفره می‌شوند. این امر را می‌توان به افزایش کرنش این لایه و عملکرد قوسی بهتر سیستم و همچنین لایه‌ی تسليح با افزایش B/h_2 نسبت داد. به هر حال نتایج، مبنی ضرورت استفاده از مصالح نرم با مدول کشسانی پایین در محدوده‌ی بین ۳۵۰ تا ۷۵۰ کیلویاسکال و ضخامت حدود عرض تراشه ($B/h_2 = 1$) روی حفره است.

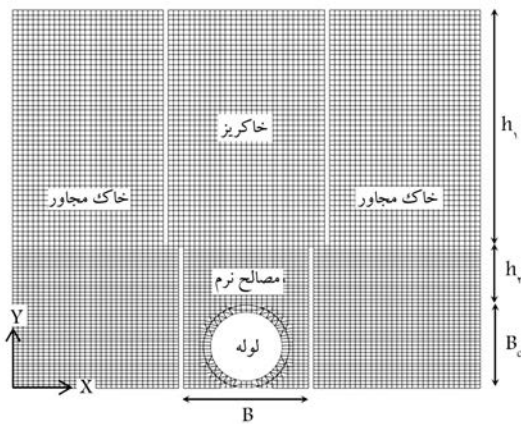
شکل ۸، اثر مدول کشسانی مصالح نرم در کرنش محوری ایجادشده در لایه‌ی ژئوستیک را برای ضخامت‌های مختلف از (B/h_2) نشان می‌دهد. همان‌طور که مشاهده می‌شود، با افزایش مدول کشسانی مصالح نرم، میزان کرنش ایجادشده در لایه‌ی تسليح کاهش می‌یابد، که این موضوع دلیلی بر افزایش تنش روی حفره در حالت مسلح (مطابق شکل ۶) با افزایش مدول کشسانی E_f است. همچنین با افزایش ارتفاع مصالح نرم (B/h_2)، به دلیل بروز نشست بیشتر در این لایه و تغییر طول بیشتر لایه‌ی تسليح، میزان کرنش در لایه‌ی تسليح افزایش می‌یابد، که این امر کاهش تنش روی حفره (شکل ۶) را موجب می‌شود.

شکل ۹، اثر مدول کشسانی مصالح نرم را در میزان کشش ایجادشده در لایه‌ی ژئوستیک نشان می‌دهد. مشاهده می‌شود که با افزایش مدول کشسانی E_f ، مقدار کشش ایجادشده در لایه‌ی ژئوستیک کاهش می‌یابد. کاهش میزان نیروی کششی در روی حفره (مطابق شکل ۶ حالت مسلح) خواهد شد. همچنین با افزایش ضخامت مصالح نرم، نیروی کششی بیشتری در لایه‌ی تسليح ایجاد می‌شود.

۲.۳. اثر ضخامت خاکریز (B/h_1)

شکل ۱۰، اثر ضخامت لایه‌ی خاکریز (B/h_1) در تنش وارد بر حفره‌ی مدفون در حالت خاکریزهای غیرمسلح و مسلح را برای مقادیر مختلف از B/h_2 نشان می‌دهد. همان‌طور که مشاهده می‌شود، با افزایش ارتفاع خاکریز، میزان تنش وارد بر تاج حفره، صرف نظر از میزان B/h_2 ، افزایش می‌یابد. با مقایسه‌ی نمودارهای حالت مسلح و غیرمسلح ملاحظه می‌شود که برای یک میزان B/h_2 و B/h_1 مشخص، تنش‌های وارد بر حفره در حالت غیرمسلح بیشتر از حالت مسلح هستند. به عنوان مثال، برای مقادیر $B/h_1 = 1/5$ و $B/h_2 = 1/5$ ، مقدار تنش روی حفره به ترتیب در حالت خاکریز غیرمسلح و خاکریز مسلح برابر $48/4$ و $37/6$ کیلویاسکال است. همچنین مشاهده می‌شود که در حالت مسلح با افزایش ضخامت مصالح نرم روی حفره، تنش وارد بر حفره کاهش می‌یابد. همچنین ملاحظه می‌شود که با افزایش ضخامت مصالح نرم، میزان کاهش تنش در حالت مسلح در مقایسه با حالت غیرمسلح افزایش می‌یابد، به طوری که با تغییر B/h_2 از مقدار $25/2$ به $1/1$ ، میزان کاهش تنش به عمل تسليح به ترتیب از حدود 15% به 32% افزایش می‌یابد.

شکل ۱۱، تغییرات ضریب کارابی (E_f) در مقابل ارتفاع خاکریز (B/h_1) را برای دو حالت خاکریز غیرمسلح و مسلح نشان می‌دهد. مطابق این شکل با افزایش ارتفاع خاکریز (B/h_1) علی‌رغم افزایش میزان کاهش تنش روی حفره مطابق شکل ۱۰، میزان ضریب کارابی سیستم افزایش می‌یابد. مطابق شکل مذکور، برای حالت غیرمسلح با افزایش ارتفاع خاکریز، عملکرد قوسی خاک بهبود می‌یابد و ضمن کاهش بیشتر در تنش روی حفره، موجب افزایش میزان کارابی می‌شود. همچنین افزایش ضخامت مصالح نرم به عمل افزایش اثر عملکرد قوسی خاک، موجب افزایش کارابی سیستم می‌شود، به طوری که موجب کاهش تنش از 37% به 57% بهاء زاده.



شکل ۱۸. شبکه‌بندی المان‌ها در محیط دو بعدی FLAC و بخش‌های مختلف آن.

برای ایجاد لغزش و برش بین خاک و لایه‌ی سلیح از پوشش^۸ استفاده شده است.

حفره‌ی مدفون در مصالح نرم از نوع لوله‌ی بتی و صلب فرض شده است.

۲.۵. مدل هندسی و شرایط مرزی محیط ترانشه و لوله

ابعاد مدل و تعداد المان‌های آن با توجه به ضخامت مصالح نرم (h_2) و ضخامت خاکریز (h) متغیر است. به عنوان نمونه، برای حالتی که $h_2/B = 2$ و $h_1/B = 0,5$ و $h_c/B = 0,5$ است. شکل مذکور، شبکه‌بندی المان‌ها و بخش‌های مختلف محیط را نشان می‌دهد. همچنین سعی شده است که فرضیات محدوده‌ی مدل و شرایط مرزی تا جای ممکن به واقعیت نزدیک باشند. از این‌رو حرکت کف مدل در جهت Y و دیواره‌های اطراف ترانشه در جهت X مقید شده است.

۳. خصوصیات مصالح و پارامترهای مورد نظر

خصوصیات مصالح در تحلیل عددی مشابه خصوصیات مصالح نرم و خاکریز در روش تحلیلی مطابق جدول ۴ انتخاب شده‌اند. ضخامت لوله نیز براساس استاندارد موردنظر^[۲۱] مطابق جدول ۴ و همچنین پارامترهای المان کابل (برای مدل سازی لایه‌ی سلیح) و مصالح پوششی آن (Grout Material) مطابق جدول ۵ هستند.^[۲۲]

۴. مقایسه‌ی نتایج روش عددی و روش تحلیلی

شکل ۱۹، تغییرات کارایی سیستم (E_f) با مدول کشسانی مصالح نرم (E_2) را در حالت خاکریزهای غیر مسلح و مسلح برای مقادیر مختلف h_2/B و برای دو روش عددی و تحلیلی مقایسه می‌کند. ملاحظه می‌شود که در هر دو روش برای خاکریز مسلح با افزایش مدول کشسانی مصالح نرم از میزان کارایی کاسته می‌شود، در

جدول ۲، نیروی وارد بر حفره‌ی مدفون در خاک در حالت خاکریز غیر مسلح (کیلونیوتون بر متر) ($E_2 = ۳۵۰ \text{ kPa}$, $q = ۰,۱۷ \text{ kN/m}^2$, $\mu K = ۰,۱۷$, $\gamma = ۱۷,۵ \text{ kN/m}^3$) و $B = ۱,۸ \text{ m}$, $h_1/B = ۰,۱۵$, $h_2/B = ۲,۵$, $h_c/B = ۰,۵$).^[۲۳]

تحلیل حاضر	تحلیل اسپنگلر ^[۲۴]
$۱۲۴,۴۷$	$۱۲۲,۵۴$
$۱۳۶,۳$	$۱۲۳,۹۶$

همچنین جدول ۳ نیروی وارد بر حفره‌ی مدفون در شرایط خاکریز مسلح، حاصل از روش تحلیلی حاضر و روش شاکلا و سیواکگان^[۲۵] در خصوص تعیین نیروی وارد بر حفره‌ی مدفون در خاکریز مسلح را در شرایط مختلف مقایسه می‌کند. همان‌طور که ملاحظه می‌شود، نتایج حاصل از تحلیل حاضر تا حدود ۱۰% ، مقادیر نتش وارد بر حفره را کمتر از مقادیر حاصل از روش شاکلا و سیواکگان^[۲۶] ارائه می‌دهد. این امر را می‌توان به:

۱. نادیده‌گرفتن اصطکاک بین خاک و لایه‌ی سلیح در روش آن‌ها در مقایسه با روش حاضر؛
۲. درنظرگرفتن المان مستطیلی در روش آن‌ها در مقایسه با المان دایره‌ی در روش حاضر، جهت انتقال نتش از سطح خاکریز به روی لایه‌ی سلیح نسبت داد.

۵. تحلیل عددی

در این مطالعه، به منظور ارزیابی بهتر روش تحلیلی موردنظر، یک سری تحلیل عددی با استفاده از نرم‌افزار ۲D FLAC روی مدل مذکور انجام شده است.^[۲۷]

۱.۵. فرضیات تحلیل

فرضیات موردنظر در تحلیل عددی عبارت‌اند از:

- از مدل رفتاری موهر-کولمب برای مدل‌کردن خاکریز و خاک مجاور در دو طرف آن استفاده شده است.
- رفتار مصالح نرم بالای حفره به صورت کشسان مدل شده است.^[۲۸]
- تحلیل به صورت دو بعدی و با درنظرگرفتن شرایط کرنش مسطح انجام شده است.
- از المان واسطه^۷ بین مصالح خاکریز و مصالح متراکم مجاور آن در دو طرف و همچنین بین مصالح نرم و مصالح متراکم مجاور آن در دو طرف به منظور لحاظکردن اصطکاک و همچنین عملکرد واقعی تر پذیده‌ی قوس‌زدگی استفاده شده است.
- از المان کابل برای مدل‌کردن لایه‌ی سلیح استفاده شده است. این المان رفتاری کششی و قادر مقاومت فشاری و خمشی دارد.

جدول ۳، نیروی وارد بر حفره‌ی مدفون در خاک در حالت خاکریز مسلح (کیلونیوتون بر متر) ($E_2 = ۳۵۰ \text{ kPa}$, $q = ۰,۱۷ \text{ kN/m}^2$, $\mu K = ۰,۱۷$, $\gamma = ۱۷,۵ \text{ kN/m}^3$) و $B = ۱,۸ \text{ m}$, $h_1/B = ۰,۱۵$, $h_2/B = ۲,۵$, $h_c/B = ۰,۵$).^[۲۸]

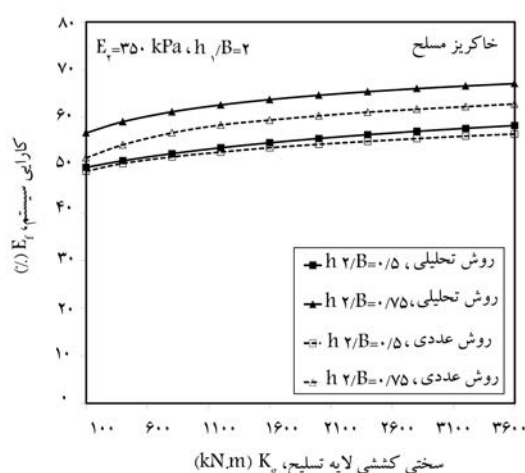
$h_2/B = ۲,۵$,	$h_2/B = ۱,۵$,	$h_2/B = ۰,۵$,	تحلیل حاضر
$K_g = ۱۱۰ \text{ kN/m}$	$K_g = ۹۰ \text{ kN/m}$	$K_g = ۷۰ \text{ kN/m}$	تحلیل شاکلا و سیواکگان ^[۲۹]
۹۷,۵۶	۸۲,۰۷	۶۵,۳۶	
۱۰۸,۵۱	۹۱,۶۱	۷۰,۰۸	

جدول ۴. خصوصیات مصالح نرم و خاک در تحلیل عددی.

مدل رفتاری	خاک موهر-کولمب	خاک مجاور	مصالح نرم کشسان	لوله کشسان
وزن مخصوص (کیلونیوتن بر مترمکعب)	۲۵	۱۲/۵	۱۸	۲۲
مدول کشسانی (کیلوپاسکال)	2×10^{11}	$3/5 \times 10^6$	$2/5 \times 10^7$	—
ضریب پواسون	۰/۲۵	۰/۱	۰/۲۵	—
مدول بالک (کیلوپاسکال)	—	—	—	$6/25 \times 10^7$
مدول برشی (کیلوپاسکال)	—	—	—	$3/46 \times 10^3$
زاویه اصطکاک داخلی (درجه)	—	—	۳۰	۳۴
زاویه اتساع (درجه)	—	—	۱۵	۲۰
چسبندگی	—	—	۰	۰
قطر خارجی (متر)	۱/۶۵	—	—	—
ضخامت (متر)	۰/۱۳۷۵	—	—	—

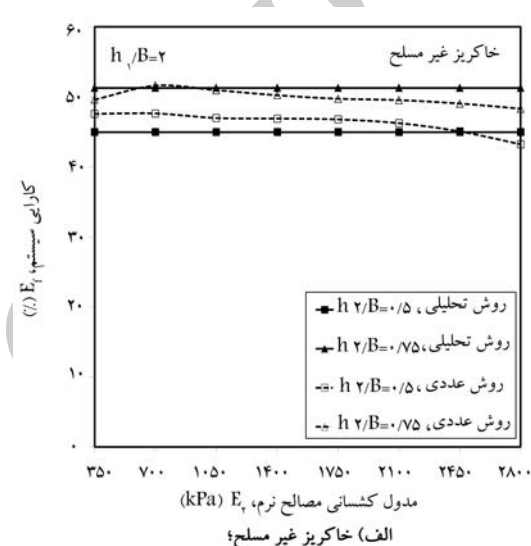
جدول ۵. مشخصات المان کابل و مصالح پوششی در تحلیل عددی.

المان کابل	مصالح پوششی کابل
—	مدول یانگ (کیلوپاسکال) 6×10^5
—	مقاومت کششی تسليیم (نیوتون) $1/5 \times 10^5$
—	سطح مقطع (مترمربع) $0/002$
$3/18 \times 10^3$	سختی اتصال (کیلوپاسکال)
۲۵۰۰	مقاومت اتصال (نیوتون بر متر)
۱۷	زاویه اصطکاک اتصال (درجه)
۰/۰۵۰۱	محیط اتصال (متر)

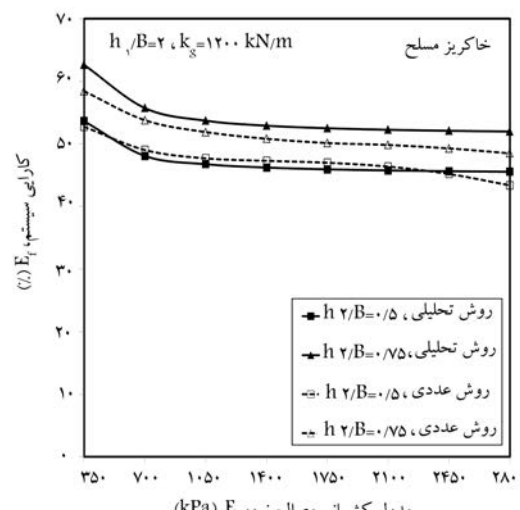


شکل ۲۰. مقایسه نتایج تحلیل عددی و روش تحلیلی با بررسی اثر سختی کششی رئوستنیک در کارابی سیستم.

حالی که برای خاکریز غیرمسلح تغییرات مذکور محسوس نیست، همچنین با افزایش ضخامت مصالح نرم در هر دو روش، کارابی سیستم افزایش می‌یابد. همچنین مقایسه تغییرات کارابی سیستم (E_f) با سختی کششی رئوستنیک (K_g) برای مقادیر مختلف $h/2/B$ حاصل از دو روش عددی و تحلیلی در شکل ۲۰ انجام شده است. مطابق این شکل با افزایش مقدار سختی کششی لایه تسليیم، مقدار کارابی سیستم در هر دو روش افزایش می‌یابد. این امر بیان می‌کند که استفاده



(الف) خاکریز غیرمسلح؛



(ب) خاکریز مسلح؛

شکل ۱۹. مقایسه نتایج تحلیل عددی و روش تحلیلی با بررسی اثر مدل کشسانی مصالح نرم در کارابی سیستم.

- استفاده از مصالح نرم با مدول کشسانی مناسب در زیر لایه‌ی تسلیح و بالای حفره سبب کاهش تنش روی حفره و در نتیجه افزایش کارایی سیستم می‌شود.
- با افزایش ارتفاع خاکریز، اگر چه میزان سربار روی لایه‌ی تسلیح و در نتیجه وزن ستون خاک بالای حفره افزایش می‌یابد، اما این امر سبب افزایش نشت مصالح نرم بالای حفره، افزایش پدیده‌ی قوس زدگی و در نهایت افزایش در میزان کارایی سیستم می‌شود.
- افزایش سختی کشسانی لایه‌ی تسلیح به میزان مناسب موجب افزایش میزان نیرو در لایه‌ی تسلیح، کاهش تنش وارد بر حفره و در نتیجه افزایش کارایی سیستم می‌شود.
- با افزایش سختی کشسانی لایه‌ی تسلیح، کرنش محوری در لایه‌ی تسلیح کاهش می‌یابد، اما نتایج نشان می‌دهد که در مجموع به علت بالارفتن سختی لایه‌ی تسلیح میزان کشش در آن افزایش می‌یابد. این امر به دلیل ایجاد نیروهای به سمت بالا (مؤلفه‌ی قائم نیروی کشسانی ژئوستیک)، در نهایت موجب کاهش تنش روی حفره می‌شود.
- افزایش ضخامت لایه‌ی نرم در حالت غیرمسلح سبب کاهش تنش وارد بر حفره مدنظر و افزایش کارایی سیستم می‌شود. همچنین در حالت مسلح، افزایش ضخامت مصالح نرم سبب افزایش نشت آن لایه، افزایش کرنش و کشش محوری لایه‌ی تسلیح و در نتیجه کاهش تنش روی حفره (افزایش کارایی) می‌شود.
- مقایسه‌ی نتایج روش تحلیلی موردنظر با دیگر پژوهشگران، میین صحت و عملکرد مطلوب این روش است.
- نتایج حاصل از روش عددی و روش تحلیلی میین یکسان بودن روند تغییرات ضربیت کارایی با پارامترهایی نظیر مدول کشسانی مصالح نرم و سختی کشسانی لایه‌ی تسلیح حاصل از دو روش به لحاظ کیفی است، اما مقادیر ضربیت کارایی حاصل از روش عددی مقداری کمتر (با اختلاف بیشینه حدود ۱/۶) یا به عبارتی محافظه‌کارانه‌تر از نتایج روش تحلیلی است. به هر حال مقایسه‌ها نشان می‌دهد که روش تحلیلی موردنظر در این نوشتار با دقت خوبی قادر به تحلیل مجاری مدفعون در خاک مسلح در چهارچوب فرضیات موردنظر است. به هر حال علت اختلاف دو روش عددی و تحلیلی را می‌توان به این موارد نسبت داد:

از لایه‌ی تسلیح با سختی کشسانی در محدوده‌ی بین ۱۰۰ تا ۲۰۰۰ کیلونیوتن بر متر می‌تواند موجب کاهش تنش وارد بر حفره و در نتیجه افزایش کارایی سیستم شود. همچنین استفاده از مصالح نرم با ضخامتی کمتر از عرض تراشه، سبب افزایش کارایی و کاهش هرچه بیشتر تنش وارد بر حفره می‌شود.

در مجموع مقایسه‌ی نتایج نشان می‌دهد که روند تغییرات ضربیت کارایی در مقابل پارامترهایی نظیر مدول کشسانی مصالح نرم و سختی کشسانی لایه‌ی تسلیح حاصل از دو روش به لحاظ کیفی کاملاً یکسان است، اما مقادیر ضربیت کارایی حاصل از روش عددی مقداری کمتر (با اختلاف بیشینه حدود ۱/۶) یا به عبارتی محافظه‌کارانه‌تر از نتایج روش تحلیلی است. به هر حال مقایسه‌ها نشان می‌دهد که روش تحلیلی موردنظر در این نوشتار با دقت خوبی قادر به تحلیل مجاری مدفعون در چهارچوب فرضیات موردنظر است. به هر حال علت اختلاف دو روش عددی و تحلیلی را می‌توان به این موارد نسبت داد:

- اختلاف در فرمولاسیون و فرضیات دو روش تحلیل؛
- لحاظنshedن مدول کشسانی لایه‌ی خاکریز روی لایه‌ی خاک نرم در روش تحلیلی؛
- تفاوت در لحاظکردن مقاومت برشی خاک با لایه‌ی تسلیح در دو روش عددی و تحلیلی؛
- در نظرنگیرن اثر لایه‌ی خاک طرفین خاکریز اصلی به طور کامل در روش تحلیلی.

۶. نتیجه‌گیری

در این نوشتار، روشی تحلیلی برای تعیین تنش وارد بر حفره مدنظر در خاک براساس تئوری عملکرد قوسی خاک در دو حالت خاکریز مسلح و غیرمسلح ارائه شده است. بر اساس مطالعات پارامتری انجام شده، این نتایج بیان می‌شود:

- استفاده از یک لایه‌ی تسلیح همراه با مصالح نرم روی حفره موجب کاهش تنش روی حفره می‌شود. میزان کاهش تنش، به پارامترهای نظیر: مدول کشسانی مصالح نرم، سختی کشسانی ژئوستیک، ارتفاع خاکریز و ضخامت مصالح نرم روی حفره بستگی دارد.

پانوشت‌ها

- arching
- finite difference method (FDM)
- finite element method (FEM)
- discrete element method (DEM)
- Geofoam
- efficiency
- interface
- grout

منابع (References)

- Marston, A. "The theory of external loads on closed conduits in the light of the latest experiments", Bulletin 96, Iowa Engineering Experiment Station, Ames, Iowa (1930).
- Terzaghi, K., *Theoretical Soil Mechanics*, John Wiley and Sons, New York, pp. 66-76 (1943).
- Ladanyi, B. and Hoyaux, B. "A study of the trap-door

- problem in a granular mass”, *Canadian Geotechnical Journal*, **6**(1), pp. 1-14 (1969).
4. Pirapakaran, K. and Sivakugan, N. “Arching within hydraulic fill stopes”, *Geotechnical and Geological Engineering*, **25**(1), pp. 25-35 (2007).
 5. Shukla, S.K.G. and Sivakugan, N. “A simplified extension of the conventional theory of arching in soils”, *International Journal of Geotechnical Engineering*, USA, **3**(3), pp. 353-359 (2009).
 6. Terzaghi, K. “Stress distribution in dry and in saturated sand above a yielding trap-door”, *Proceedings First International Conference on Soil Mechanics and Foundation Engineering*, Cambridge, Massachusetts, pp. 307-311 (1936).
 7. Getzler, Z., Gellert, M. and Eitan, R. “Analysis of arching pressures in ideal elastic soil”, *Journal of the Soil Mechanics and Foundation Division, ASCE*, **96**(SM4), pp. 1357-1372 (1970).
 8. Rude, M. and Lawrence, C. “Measured performance of a laboratory culvert”, *Journal of the Geotechnical Engineering Division*, **108**(12), pp. 1624-1641 (1982).
 9. Sakaguchi, H. and Ozaki, E. “Analysis of the formation of arches plugging the flow of granular materials”, *Proceedings of the 2nd International Conference on Discrete Element Method*, MIT, Cambridge, Massachusetts, pp. 153-163 (1992).
 10. Low, B.K., Tang, S.K. and Choa, V. “Arching in piled embankments”, *Journal of Geotechnical Engineering*, **120**(11), pp. 1917-1938 (1994).
 11. Hewlett, W.J. and Randolph, M.F. “Analysis of pile embankments”, *Ground Engineering*, **21**(3), pp. 12-18 (1988).
 12. Kang, J., Parker, F. and Yoo, CH. “Soil-structure interaction for deeply buried corrugated steel pipes. Part II: Imperfect trench installation”, *Engineering Structures*, **30**(3), pp. 588-594 (March 2008).
 13. McAfee, R.P. and Valsangkar, A.J. “Geotechnical properties of compressible materials used for induced trench construction”, *Journal of Testing and Evaluation*, **32**(2), pp. 143-52 (2004).
 14. Shukla, S.K. and Sivakugan, N. “Load coefficient for ditch conduits covered with geosynthetic-reinforced granular backfill”, *International Journal of Geomechanics, ASCE*, **13**(1), pp. 76-82 (January-February 2013).
 15. Kawabata, T., Uchida, K., Hirai, T., Ling, H.I. and Koyama, N. “Experiments on buried pipe using backfill of cover with geosynthetics”, *Proceedings of the ASCE International Conference on Pipeline Engineering and Construction, Baltimore*, Maryland, pp. 1271-1278 (2003).
 16. Tavakoli Mehrjardi, GH., Moghaddas Tafreshi, S.N. and Dawson, A.R. “Combined use of geocell reinforcement and rubber-soil mixtures to improve performance of buried pipes”, *Geotextiles and Geomembranes*, Elsevier, **34**(1), pp. 116-130 (2012).
 17. ASTM D2321-11 , Standard Practice for Underground Installation of Thermoplastic Pipe for Sewers and Other Gravity-Flow Applications.
 18. AASHTO HB-17 , Division II, Section 30 Thermoplastic Pipe.
 19. Van Santvoort, G.P.T.M., *Geosynthetics in Civil Engineering*, Balkema, Rotterdam, the Netherlands, pp. 37-39 (1995).
 20. Abusharar, S.W., Zheng, J.J., Chen, B.G. and Yin, J.H. “A simplified method for analysis of a piled embankment reinforced with geosynthetics”, *Geotextiles and Geomembranes*, **27**(1), pp. 39-52 (2008).
 21. Afsharkaveh, N., “Analysis of vertical pressure acting on a ditch conduit in reinforced soil backfill. MSc thesis. Faculty of Civil Engineering, K.N.Toosi University of Technology, (in Persian) (2012).
 22. Spangler, M.G., *Culverts and Conduits*, Chapter 11, Foundation engineering, G. A. Leonards, ed., McGraw Hill, New York, pp. 965-999 (1962).
 23. Fast Lagrangian Analysis of Continua, FLAC (Version 4.0), Itasca Consulting Group, Inc. Minneapolis, Minnesota 55415 USA (2002).
 24. Construction Standards CS 10, Storm Drain (16 Jan 2007).
 25. Ghazavi, M. and Alimardani Lavasani, A. “Interface effect of shallow foundations constructed on sand reinforced with geosynthetics”, *Geotextile and Geomembranes*, **26**(5), pp. 404-415 (2008).